

ทฤษฎีการจับอนุภาคในสนา�แม่เหล็ก Gerard เดียนเต้สูง



วิทยานิพนธ์นี้เป็นส่วนหนึ่งของการศึกษาตามหลักสูตรปริญญาวิทยาศาสตร์มหาบัณฑิต

ภาควิชาพิลigr

บัณฑิตวิทยาลัย จุฬาลงกรณ์มหาวิทยาลัย

พ.ศ. 2532

ISBN 974-576-684-4

ลิขสิทธิ์ของบัณฑิตวิทยาลัย จุฬาลงกรณ์มหาวิทยาลัย

015267

๑๗๗ ๑๐๙ ๕๖๘

**THEORY OF PARTICLE CAPTURE IN HIGH GRADIENT MAGNETIC FIELD**

**Mr. Suchat Kuntabutr**

**A Thesis Submitted in Partial Fulfillment of the Requirements  
for the Degree of Master of Science  
Department of Physics  
Graduate School  
Chulalongkorn University**

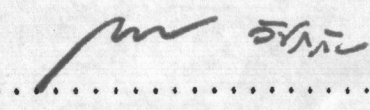
**1989**

**ISBN 974-576-684-4**

หัวข้อวิทยานิพนธ์	ทฤษฎีการจับอนุภาคในสสารแม่เหล็ก Gerard Debye สูง
โดย	นาย สุชาติ วันอุบล
ภาควิชา	ฟิสิกส์
อาจารย์ที่ปรึกษา	ผู้ช่วยศาสตราจารย์ ดร. มยุรี เนตรนวิส

---

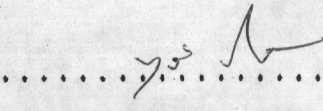
บัณฑิตวิทยาลัย จุฬาลงกรณ์มหาวิทยาลัย อนุมัติให้นับวิทยานิพนธ์  
ฉบับนี้เป็นส่วนหนึ่งของการศึกษาตามหลักสูตรปริญญามหาบัณฑิต

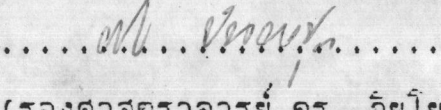
  
..... คณบดีบัณฑิตวิทยาลัย

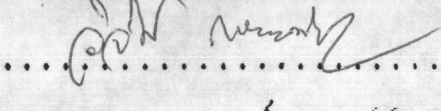
(ศาสตราจารย์ ดร. ถาวร วัชราภัย)

คณะกรรมการสอบวิทยานิพนธ์

  
..... ประธานกรรมการ  
(ผู้ช่วยศาสตราจารย์ ดร. พศิษฐ์ รัตนวรารักษ์)

  
..... อาจารย์ที่ปรึกษา  
(ผู้ช่วยศาสตราจารย์ ดร. มยุรี เนตรนวิส)

  
..... กรรมการ  
(รองศาสตราจารย์ ดร. วิทย์โย ปันยารชุน)

  
..... กรรมการ  
(รองศาสตราจารย์ ดร. วิจิตร เลิศแหณรงค์)



ขันรบตระ : ทฤษฎีการจับอนุภาคในล้นามแม่เหล็กในสูง (THEORY OF  
PARTICLE CAPTURE IN HIGH GRADIENT MAGNETIC FIELD) อ. ทีปริภญ :  
ผศ.ดร. มยุรี เนตรนารถ, 82 หน้า.

ปัญหานี้ในการอธิบายการเคลื่อนที่ของอนุภาคแม่เหล็กจะต้องมีความรู้ที่ประปนกับของให้ในส่วนของแม่เหล็กที่จะบอกรูปแบบตามแนวแกนและภาคตัดขวางของสิ่งที่ต้องให้ล้มบูรณาและลอดคล้องกับผลการทดลองนั้น ขึ้นอยู่กับการประมาณค่าความเข้มล้นนามแม่เหล็กรอบตัวสับได้ ๆ ซึ่งจะสามารถแบบสูงในตัวของแม่เหล็กให้ได้ใกล้เคียงความเป็นจริงมากที่สุด ทฤษฎีการจับอนุภาคในตัวของแม่เหล็กที่จะบอกรูปแบบตามแนวแกน ริมจากทฤษฎีของเกอร์เบอร์ที่ได้ประมาณล้นนามแม่เหล็กรอบตัวสับตามแบบจำลองตัวสับเดียว ซึ่งมีข้อจำกัดใจได้ เฉพาะกรณีสัดล่วนของตัวสับในตัวของแม่เหล็กน้อย ๆ ประมาณไม่เกิน 5% และความเข้มล้นนามแม่เหล็กว่ายังคงมีค่าไม่สูงเกินไป เนื่องจากผลกระทบค่านิวัติที่ต้องการจับของตัวสับตัวของแม่เหล็กมีการเพิ่มขึ้นกางเตี้ยรับความพยายามในการจับของตัวสับที่อยู่ข้างเคียง ซึ่งให้ผลการคำนวณประลักษณ์ของตัวของแม่เหล็กมีการเพิ่มขึ้นกางเตี้ยรับความพยายามในการจับแบบนอร์เมลไลซ์ที่มีคันสัดล่วนของตัวสับในตัวของแม่เหล็ก

ในการวิจัยนี้เราได้ปรับปรุงทฤษฎีของเกอร์เบอร์ โดยใช้ความเข้มล้นนามแม่เหล็กรอบตัวสับที่ประมาณโดยวิธีตัวกลวงยังผล ซึ่งวิธีนี้ได้ประมาณตัวสับในตัวของแม่เหล็กที่กลมได้劲ดีมาแล้ว ในกรณีที่ให้ผลการคำนวณประลักษณ์ของตัวของแม่เหล็กมีแนวโน้มของความเพิ่มแบบอิมตัว เมื่อความพยายามในการจับแบบนอร์เมลไลซ์ หรือสัดล่วนของตัวสับในตัวของแม่เหล็กมีค่าเพิ่มมากขึ้น เกินค่านี้ ซึ่งลอดคล้องกับผลการทดลองของบริษัทและทฤษฎีของไกร์เนอร์และอ่อนมนต์

ภาควิชา ..... พลิกล  
สาขาวิชา ..... พลิกล  
ปีการศึกษา ..... 2532

ลายมือชื่อนิสิต ..... สมชาย ใจกลาง  
ลายมือชื่ออาจารย์ที่ปรึกษา ..... ดร. น. ส.

SUCHAT KUNTABUTR : THEORY OF PARTICLE CAPTURE IN HIGH GRADIENT MAGNETIC FIELD : THESIS ADVISOR : ASST. PROF. MAYUREE NATENAPIT, Ph.D. 82 pp.

In describing motion of magnetic particles of micron size in fluid carrier and prediction of capture efficiency of axial cylindrical magnetic filter with satisfactory agreement with experiment, depends on approximation of magnetic field around any collector which is randomly distributed in magnetic filter. Theory of particle capture in axial cylindrical magnetic filter was first developed by using the single collector model for approximation of magnetic field around a representative collector from Gerber's theory. This theory was limited by small collector packing fraction, approximately about 5 %, and the applied magnetic field intensity was not too high. Otherwise, capture area of the representative collector overlaps with capture area of neighbouring collector and magnetic-filter efficiency is obtained as monotonic increasing function with increasing of normalized capture length or packing fraction.

In this research, we develop Gerber's theory by using magnetic field intensity around a representative collector determined by effective medium approach, which is applied to spherical magnetic filter. In this research, the calculated result of magnetic-filter efficiency has the tendency of saturated type when the normalized capture length or packing fraction increases more than the specific value which corresponds to the experiment of Birss and the theory of Greiner and Hoffmann.

ภาควิชา ..... พลิกล  
สาขาวิชา ..... พลิกล  
ปีการศึกษา ..... 2532

ลายมือชื่อนักศึกษา ..... สมชาย ธรรมชาติ  
ลายมือชื่ออาจารย์ที่ปรึกษา ..... ดร. วิรุณ พัฒนา

## กิตติกรรมประกาศ

วิทยานิพนธ์ฉบับนี้สำเร็จลงได้ด้วยความช่วยเหลือจากท่านผู้ช่วย  
ศาสตราจารย์ ดร. มยุรี เนตรนภัส อาจารย์ภาควิชาฟิสิกส์ คณะวิทยาศาสตร์  
จุฬาลงกรณ์มหาวิทยาลัย ซึ่งเป็นอาจารย์ที่ปรึกษาและผู้ควบคุมการวิจัยครั้งนี้  
ได้ให้คำแนะนำในการวิจัยอย่างใกล้ชิด ตลอดทั้งแก้ปัญหาที่เกิดขึ้นจากการวิจัย  
และทางด้านวิชาการ รวมทั้งช่วยตรวจแก้ข้อเขียนในวิทยานิพนธ์ ผู้เขียน  
ขอกราบขอบพระคุณท่านอาจารย์ไว้เป็นอย่างสูง ณ ที่นี่

ท้ายนี้ผู้วิจัยได้ขอกราบขอบพระคุณ บิดา-มารดา ซึ่งให้กำลังใจ  
แก่ผู้วิจัยเสมอมาจนสำเร็จการศึกษา

## สารบัญ

หน้า

บทคัดย่อภาษาไทย.....	๗
บทคัดย่อภาษาอังกฤษ.....	๘
กิตติกรรมประกาศ.....	๙
สารบัญตาราง.....	๑๘
สารบัญรูป.....	๓๔

## บทที่

1. บทนำ.....	1
1.1 ทฤษฎีการจับอนุภาคนในสนา�แม่เหล็ก Gerard Deiken ที่สูง	4
1.2 วัตถุประสงค์ของการวิจัย.....	5
1.3 วิธีดำเนินการวิจัย.....	6
2. ทฤษฎีพื้นฐานของการจับอนุภาคนในสนา�แม่เหล็ก Gerard Deiken ที่สูง	9
2.1 สนาમแม่เหล็กตามแบบจำลองตัวจับเดียว.....	9
2.2 สมการการเคลื่อนที่.....	15
2.3 ทางเดินของอนุภาคน	19
2.4 เส้นโค้งไฮโตรเกลิกและพื้นที่ของการจับ.....	21
2.5 ประสิทธิภาพของตัวกรองแม่เหล็ก.....	34
3. การจับอนุภาคนในสนามแม่เหล็กแบบตัวกลางยังผล.....	39
3.1 สนาમแม่เหล็กตัวกลางยังผล.....	39
3.2 สมการการเคลื่อนที่.....	46
3.3 ทางเดินของอนุภาคน	47

## สารบัญ (ต่อ)

บทที่	หน้า
3.4 เส้นขอบเขตพื้นที่ของการจับและพื้นที่ของการรับ..... 3.5 ประสิทธิภาพของตัวกรองแม่เหล็ก..... 4. สรุปและวิจารณ์ .....	53 59 63
เอกสารอ้างอิง.....	71
ภาคผนวก ก .....	75
ภาคผนวก ข .....	78
ภาคผนวก ค .....	81
ประวัติผู้เขียน.....	82

## สารบัญตาราง

ตารางที่

หน้า

- 2.1 แสดงการเปรียบเทียบผลการคำนวณทางเดินอนุภาค  
วิธีเชิงวิเคราะห์และวิธีเชิงตัวเลขรังก์ กัตต้า.....

20

## สารบัญรูป

รูปที่	หน้า
1.1 แสดงเส้นแรงแม่เหล็กบริเวณรอบ ๆ ตัวจับเมื่อยื่น สนา�แม่เหล็กภายนอกความเข้มลม่าเลมอ ( $H_o$ ).....	2
1.2 แสดงทิศสนา�แม่เหล็กภายนอกความเข้มลม่าเลมอ ( $H_o$ ) และทิศทางการไหลเข้ามาของของไหล ( $v_o$ ).....	4
2.1 แสดงภาคตัดขวางของตัวจับที่ถูกล้อมรอบด้วยของไหล และสนา�แม่เหล็กภายนอกความเข้มลม่าเลมอ ( $H_o$ )...	11
2.2 แสดงทางเดินของอนุภาคล้ำหัว $K = 0.8$ , $F = 7\%$ , $P_o/P_m = 1$ , $r_{ai} = 4$ เมื่อ $\theta_i = 20^\circ$ , $40^\circ$ , และ $60^\circ$ .....	22
2.3 แสดงทางเดินของอนุภาคล้ำหัว $K = 0.8$ , $F = 7\%$ , $P_o/P_m = 1$ , $\theta_i = 60^\circ$ เมื่อ $r_{ai} = 3$ และ $5..$	23
2.4 แสดงทางเดินของอนุภาคล้ำหัว $r_{ai} = 4$ , $\theta_i = 60^\circ$ $P_o/P_m = 1$ , $F = 7\%$ เมื่อ $K = 0.5$ และ $0.9.....$	24
2.5 แสดงทางเดินของอนุภาคล้ำหัว $r_{ai} = 4$ , $\theta_i = 60^\circ$ , $P_o/P_m = 1$ , $K = 0.8$ เมื่อ $F = 5\%$ และ $10\%.....$	25
2.6 แสดงเส้นโค้งไอโซเกลิก (-----) และทางเดินของ อนุภาค (—) สำหรับ $La = 16286$ , $F = 7\%$ และ $K = 0.8.....$	26
2.7 แสดงเส้นโค้งไอโซเกลิกสำหรับ $K = 0.8$ , $F = 7\%$ เมื่อ $La = 569.9$ , $4837$ และ $12200.....$	28
2.8 กราฟแสดงความล้มพันธ์ระหว่างพื้นที่ของการจับ ( $A_a$ ) กับความยาว ในการจับแบบนอร์แมลไลซ์ ( $La$ ) เมื่อ $F = 7\%$ และ $10\%$ สำหรับ $K = 0.8.....$	30

สารบัญรูป (ต่อ)

หัวที่	หน้า
2.9 แสดงเส้นโค้งไอโซเทลิกสำหรับ $L_a = 4837$ , $K = 0.8$ , เมื่อ $F = 5\%$ และ $7\% \dots\dots\dots$	31
2.10 กราฟแสดงความล้มพนธ์ระหว่างพื้นที่ของการจับ ( $A_a$ ) กับสัดส่วนของตัวจับในตัวกรองแม่เหล็ก ( $F$ ) เมื่อ $L_a = 4837$ และ $2000$ สำหรับ $K = 0.8 \dots\dots\dots$	32
2.11 แสดงเส้นโค้งไอโซเทลิกสำหรับ $L_a = 4837$ , $F = 7\%$ เมื่อ $K = 0.8$ และ $1 \dots\dots\dots\dots\dots\dots\dots\dots\dots$	33
2.12 กราฟแสดงความล้มพนธ์ระหว่างประสิทธิภาพของตัวกรอง แม่เหล็กกับความพยายามในการจับแบบนอร์แมลไลซ์ ( $L_a$ ) เมื่อ $F = 7\%$ และ $10\%$ สำหรับ $K = 0.8 \dots\dots\dots$	36
2.13 กราฟแสดงความล้มพนธ์ระหว่างประสิทธิภาพของตัวกรอง แม่เหล็กกับสัดส่วนของตัวจับในตัวกรองแม่เหล็ก ( $F$ ) เมื่อ $L_a = 4837$ และ $2000$ สำหรับ $K = 0.8 \dots\dots\dots$	37
3.1 แสดงภาคตัดขวางของเซลล์ตัวแทนชิ่งประกอบด้วยตัวจับ และของไอลรอนตัวจับ ตัวกลางยังผล และลามมาแม่เหล็ก ภายนอกความเข้มสัมภาระ ( $H_o$ ) \dots\dots\dots\dots\dots\dots\dots\dots\dots	40
3.2 แสดงทางเดินของอนุภาคสำหรับ $K = 0.8$ , $F = 5\%$ , ( $r_{ca} = 4.472$ ), $P_o/P_m = 1$ , $r_{ai} = 4$ เมื่อ $\theta_i = 20^\circ$ , $40^\circ$ และ $60^\circ \dots\dots\dots\dots\dots\dots$	49
3.3 แสดงทางเดินของอนุภาคสำหรับ $K = 0.8$ , $F = 5\%$ ( $r_{ca} = 4.472$ ), $P_o/P_m = 1$ , $\theta_i = 60^\circ$ เมื่อ $r_{ai} = 3$ , $4$ และ $5 \dots\dots\dots\dots\dots\dots\dots\dots\dots$	50
3.4 แสดงทางเดินของอนุภาคสำหรับ $r_{ai} = 4$ , $\theta_i = 60^\circ$ , $P_o/P_m = 1$ , $F = 5\%$ ( $r_{ca} = 4.472$ ) เมื่อ	

## สารบัญรูป (ต่อ)

รูปที่

หน้า

- |  |    |
|--|----|
| K = 0.5 และ 0.8.....   | 51 |
| 3.5 แสดงทางเดินของอนุภาคสำหรับ $r_{ai} = 4$ , $\theta_i = 60^\circ$ ,<br>$P_o/P_m = 1$ , $K = 0.8$ เมื่อ $F = 4\%$<br>$(r_{ca} = 5.00)$ , 5% ( $r_{ca} = 4.472$ ) และ 7%<br>$(r_{ca} = 3.779)$ .....           | 52 |
| 3.6 แสดงเส้นขอบเขตพื้นที่ของการจับสำหรับ $K = 0.8$ ,<br>$F = 7\%$ ( $r_{ca} = 3.779$ ) เมื่อ $La = 569.9$<br>และ 12200.....  | 54 |
| 3.7 กราฟแสดงความสัมพันธ์ระหว่างพื้นที่ของการจับ (Aa)<br>กับความยาวในการจับแบบนอร์แมลไลซ์ (La) เมื่อ<br>$F = 7\%$ (พื้นที่ของเชลล์ = 44.88) และ $F = 10\%$<br>$(พื้นที่ของเชลล์ = 31.41)$ สำหรับ $K = 0.8$ .... | 56 |
| 3.8 แสดงเส้นขอบเขตพื้นที่ของการจับสำหรับ $La = 4837$ ,<br>$K = 0.8$ เมื่อ $F = 5\%$ ( $r_{ca} = 4.472$ ) และ<br>$F = 7\%$ ( $r_{ca} = 3.779$ ).....  | 57 |
| 3.9 กราฟแสดงความสัมพันธ์ระหว่างพื้นที่ของการจับ (Aa) กับ<br>สัดส่วนของตัวจับในตัวกรองแม่เหล็ก (F) เมื่อ $La = 4837$ ,<br>7000 และ 12200 สำหรับ $K = 0.8$ .....   | 58 |
| 3.10 กราฟแสดงความสัมพันธ์ระหว่างประสิทธิภาพของตัวกรอง<br>แม่เหล็กกับความยาวในการจับแบบนอร์แมลไลซ์ (La) เมื่อ<br>$F = 7\%$ และ 10% สำหรับ $K = 0.8$ .....   | 60 |

## สารบัญรูป (ต่อ)

รูปที่

หน้า

- 3.11 กราฟแสดงความสัมพันธ์ระหว่างประสิทธิภาพของตัวกรองแม่เหล็กกับสัดส่วนของตัวจับในตัวกรองแม่เหล็ก (F) เมื่อ  $L_a = 4837, 7000$  และ  $12200$  สำหรับ  $K = 0.8$  และแสดงผลการทดลอง..... 61
- 4.1 เปรียบเทียบท่างเดินของอนุภาครายหัวทางทฤษฎีของเกอร์เบอร์ (-----) และทฤษฎีตัวกลางยังผล (-----) เมื่อพิจารณาตำแหน่งตั้งต้นอยู่ในเชลล์และนอกเชลล์ สำหรับ  $F = 5\%$  ( $r_{ca} = 4.472$ ),  $K = 0.8$  และ  $P_o/P_m = 1$  ..... 64
- 4.2 กราฟแสดงความสัมพันธ์ระหว่างพื้นที่ของการจับ ( $A_a$ ) กับสัดส่วนของตัวจับในตัวกรองแม่เหล็ก (F) เปรียบเทียบผลการคำนวณตามทฤษฎีของเกอร์เบอร์ (-----) และทฤษฎีตัวกลางยังผล (-----) สำหรับ  $L_a = 4837$  และ  $K = 0.8$ ..... 66
- 4.3 กราฟแสดงความสัมพันธ์ระหว่างพื้นที่ของการจับ ( $A_a$ ) กับความยาวในการจับแบบนอร์แมลไลซ์ ( $L_a$ ) เปรียบเทียบผลการคำนวณตามทฤษฎีของเกอร์เบอร์ (-----) และทฤษฎีตัวกลางยังผล (-----) สำหรับ  $F = 7\%$  และ  $K = 0.8$ ..... 67
- 4.4 กราฟแสดงความสัมพันธ์ระหว่างประสิทธิภาพของตัวกรองแม่เหล็กกับสัดส่วนของตัวจับในตัวกรองแม่เหล็ก (F) เปรียบเทียบผลการคำนวณตามทฤษฎีของเกอร์เบอร์ (-----) และทฤษฎีตัวกลางยังผล (-----)

## สารบัญรูป (ต่อ)

รูปที่

หน้า

- |     |   |    |
|-----|---|----|
| 4.5 | สำหรับ $L_a = 4837$ และ $K = 0.8 \dots \dots \dots$<br>กราฟแสดงความสัมพันธ์ระหว่างประสิทธิภาพของตัวกรอง<br>แม่เหล็กกับความยาวในการจับแบบนอร์แมลไลซ์ ( $L_a$ )<br>เปรียบเทียบผลการคำนวณตามทฤษฎีของเกอร์เบอร์<br>$(-----)$ และทฤษฎีตัวกลางยังพล $(-----)$<br>สำหรับ $F = 7\%$ และ $K = 0.8 \dots \dots \dots$ | 69 |
|-----|---|----|